400 チャンネル分析装置とパルス波高分析

400-channel Analyzer and Pulse Height Analysis

西 脇 耕 治*
Kôji Nishiwaki

松 下 甫*
Hajimu Matsushita

志 村 栄 政*
Yoshimasa Shimura

要旨

多目的なディジタル分析器として広い用途をもつ RAH-403 形 400 チャンネル分析装置のパルス波高分析器としての機能と性能並びに多入力の γ 線スペクトルの分析などについて述べた。また、光電子増倍管によるスペクトルのシフトに関する測定結果についてもふれる。

本装置のパルス波高分析に対する仕様並びに性能は、チャンネル数 400(または 200×2、100×4)、記憶容量 2^{16} –1/チャンネル、不感時間 $(0.25\ N+15)$ μ s、パルス波高値対チャンネル直線性フルスケールに対し 1% 以下、ドリフト 1 チャンネル以下/1 日、高計数率に対するチャンネルシフト 1 チャンネル以下/ 2×10^4 cps である。また、温度影響については 5 $\mathbb{C}\sim35$ \mathbb{C} で保証され、20 $\mathbb{C}\pm10$ \mathbb{C} に対し 1 チャンネルの安定性をもっている。

1. 緒 言

元来,マルチチャンネル分析装置は電子計算機の技術を原子核物理実験における放射線測定器に導入したディジタル分析器で, µs以下の速いランダムパルスの波高分析を目的に早くから開発され,改良されてきた。しかし,最近,電子計算機の発達とトランジスタや他の小形回路素子の量産化に伴い安価で高性能なマルチチャンネル分析器が作られるようになり,他の計測器分野にも広く使用されるようになった。

現在使用されているマルチチャンネル波高分析器の歴史は1949年 Wilkinson 氏(1)がアナログーディジタル変換原理(以下 A-D変換という)を用いた電話レジスタ記憶方式の装置を開発したことに始まる。当時、7線検出にすぐれた武器として登場した NaI (Tl) シンチレーション検出器とともに7線スペクトル分析技術に飛躍的発展をもたらした。この A-D変換による分析方法はそれまでパルス波高値を一対の波高値選別器で決まる小さな窓(すなわちチャンネル)によって順次分析位置をずらしながら行なうシングルチャンネル)によって順次分析位置をずらしながら行なうシングルチャンネル分析方式とは異なり、ランダムにはいってくるパルスの波高値をそれぞれその大きさに比例した数の発振パルスに変換し、その変換数に等しい番地のレジスタに"1"を加えて行くもので、分析速度が早いばかりでなく、どの波高値のパルスに対しても測定時間のずれがなく平等に分析できるという利点を生みだした。

その後, 1950年, Hutchison 氏と Scarrott 氏(2)によって電子計 算機に用いられていた超音波遅延線記憶方式の100チャンネル波高 分析器が作られ,分析速度がこれまでの10 cps から1,600 cps に上 った。しかし、この方式の記憶装置は循環形記憶方式であるため記 憶呼出時間 (access time) が長く,かつ温度変化や,記憶保存が不 可能であるなどの欠点があった。1954年 Byington 氏と Johnstone 氏(3)が現在のパラレルーランダムアクセスの磁気コア記憶方式を 採り入れ、1956年に Shumann 氏と Mc Mahon 氏(4)によって、こ の方式による256チャンネル波高分析器が作られるに至って分析速 度が 10⁵ cps にまで飛躍した。 1960 年代にはいってシリコンやゲル マニューム半導体検出器による高分解能のスペクトル分析が可能に なって、1,000チャンネル以上のマルチチャンネル波高分析器が必要 となり、トランジスタ化による小形大容量の記憶装置をもつものが 作られるようになった。現在はさらに高速度で、10⁴チャンネル以 上の大形のものが容易に製品化され、価格も従来の1/3以下のもの が市販されるようになった。

RAH-403 形 400 チャンネル分析装置はパルス波高分析, マルチ

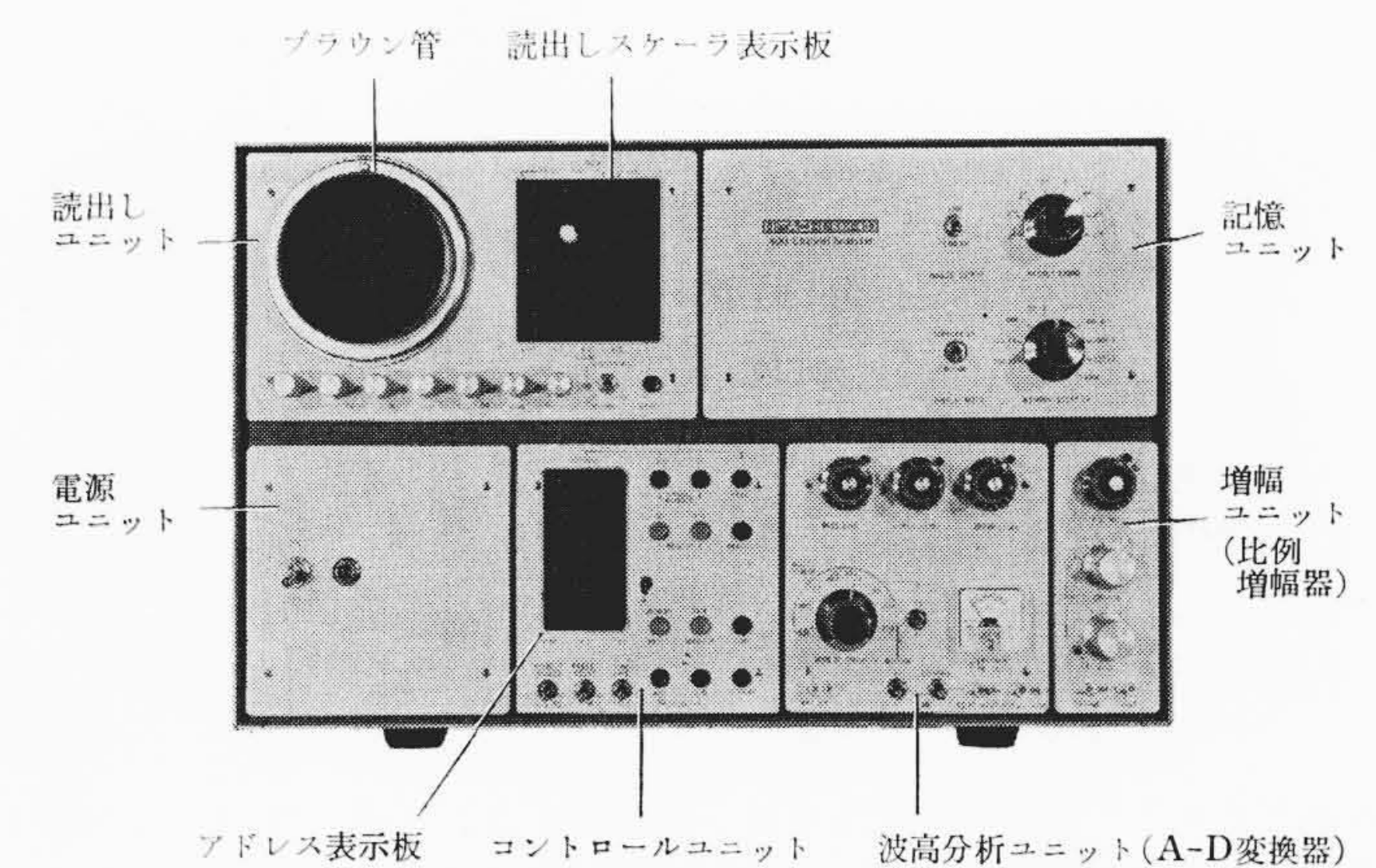


図1 RAH-403 形 400 チャンネル分析装置 1入力形パルス波高分析器の表面パネル

スケーラ,飛行時間分析およびサンプリング平均化分析など入力変換ユニットの交換によってそれぞれの分析機能をもち,トランジスタによる小形化とプラグイン方式による分析の広い幅を目標に設計された。ここではパルス波高分析における単入力と多入力分析の機構と分析例について説明する。

2. 装置

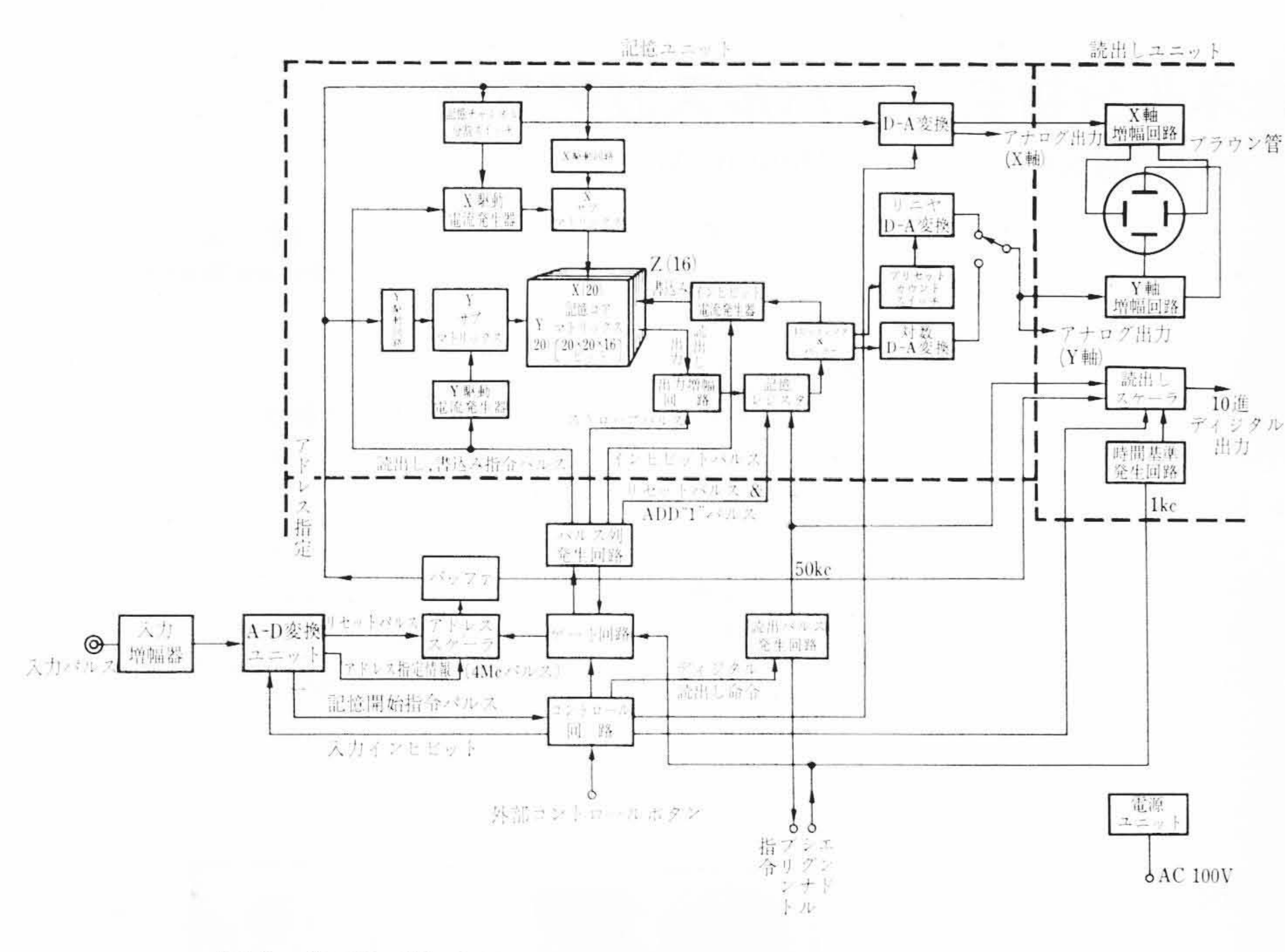
2.1 構成と動作の概要

本装置の回路構成は6個の機能別ユニット…入力増幅,A-D変換,コントロール,記憶,読出し,および電源…からなり,最初の二つのユニットは分析の目的によって交換される。パルス波高分析では入力増幅に1入力形比例増幅か,4入力形分類ユニットが用いられ,A-D変換に4Mcの変換回路をもった波高分析マルチスケーラユニットが使用される。また,記憶ユニットは20×20×16ビットからなる磁気コアマトリックスを中心に読出し、書込みの記憶動作を行なわせる周辺の駆動回路と記憶レジスタおよびA-D変換回路から構成されている。読出しユニットは3″ブラウン管とその増幅回路,10進5けたの読出しスケーラと1kc時間基準発生回路からなり,コントロールユニットはアドレススケーラ,記憶動作をコントロールするパルス列発生回路,読出しパルス発生回路および全体の動作をコントロールするゲート回路などからなっている。図2はその回路構成を示すブロックダイヤグラムである。

次にパルス波高分析の動作についてまずその概要を述べる。

パルス波高分析の動作の主体をなすものは A-D 変換と記憶動作で、その後の読出し動作は他の分析にも共通した動作である。ここ

^{*} 日立製作所那珂工場



RAH-403 形 400 チャンネル分析装置ブロックダイヤグラム

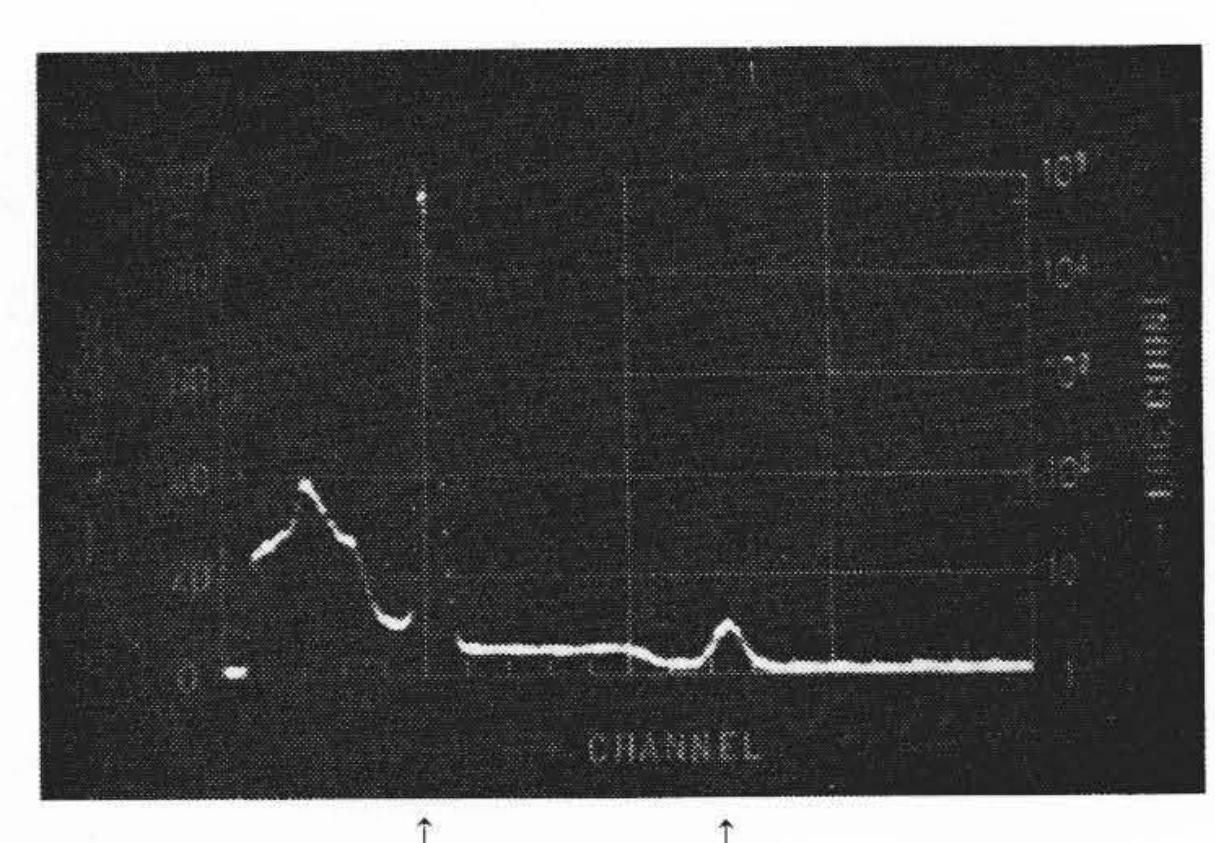
ではア線スペクトル分析の動作を例にとって説明する。

γ線検出器として使用される NaI(TI) シンチレーション検出器は 検出したγ線のエネルギーに比例した電流パルスを発生する。すな わち、パルスの大きさかは

$$p=k E_a \dots (1)$$

ここでkはシンチレータと光電子増倍管を含む比例定数。 E_a は NaI (TI) 内で吸収されたγ線のエネルギーを示す。いま、単色のγ線が 検出器に入射した場合検出器から出てくるパルスの大きさの分布, すなわちスペクトルは図3のような広がりをもつ。 しかし、γ線の 完全吸収によるパルスは常に入射γ線のエネルギーに比例したピー クすなわちホトピークを示すので、このホトピークのスペクトルが γ線の分析において意味をもっている。

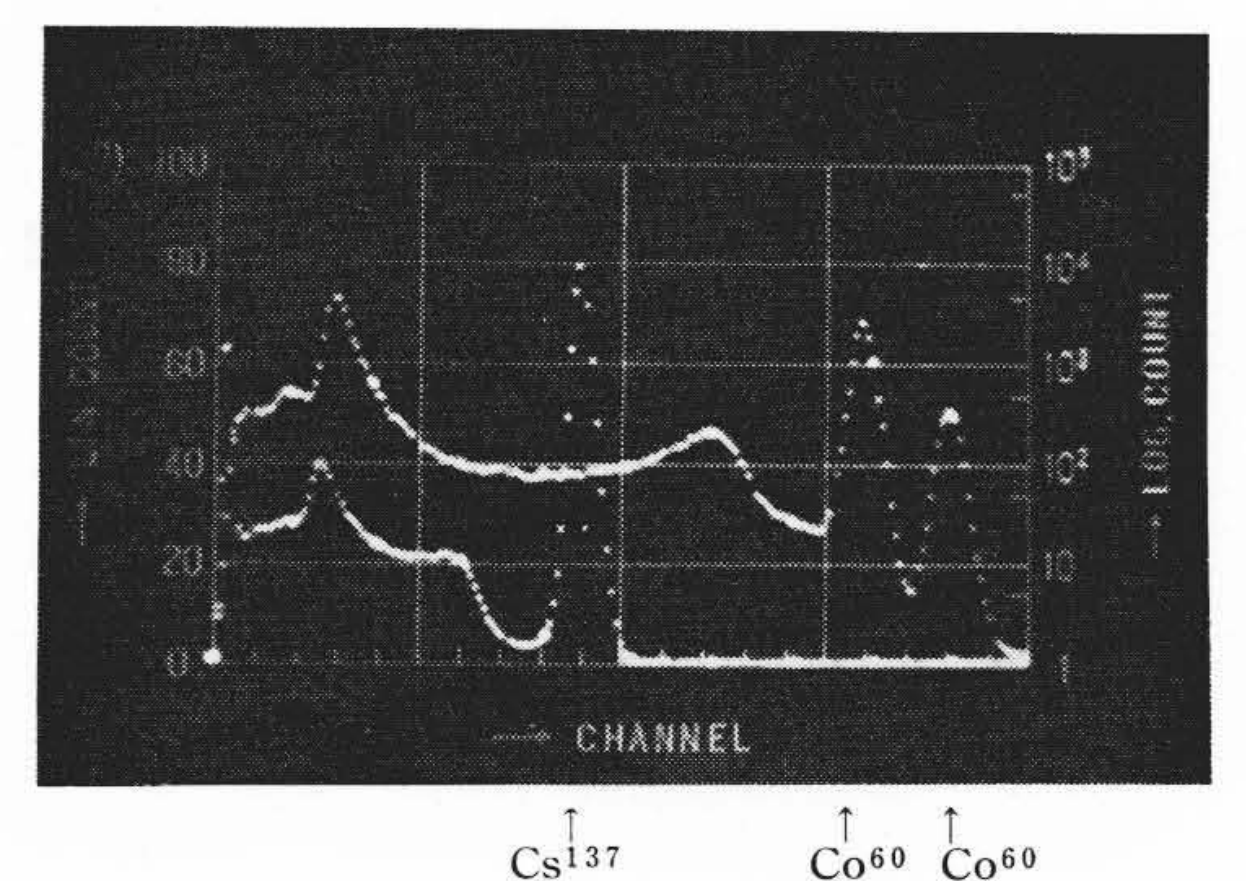
400 チャンネル分析器は、検出器から出てくるランダムなパルス (電流パルスまたは電圧パルス)をまず比例増幅器により増幅し、分 析する最大パルスが次の A-D 変換器の入口で 10 mA の電流パルス になるようにする。A-D変換器ではまずベースラインディスクリミ ネータによりある高さ以上のパルスだけを選別し、A-D変換を行な う。ここで最初アドレススケーラにリセットパルスを送り、次に4 Mcの発振器によってパルスの高さに比例した数の発振パルスがア ドレススケーラに送られる。アドレススケーラはこのパルスを数え, バッファを通して記憶装置の X, Y 駆動回路にアドレス指定パルス を送って X, Y サブマトリックスの一つを選ぶ。 一方 A-D 変換器 からコントロール回路に記憶開始の指令が送られ、ここで次の動作 をコントロールする一連のパルス列を発生して, 記憶動作が始ま る。記憶動作はアドレススケーラによって指定されたアドレス(= チャンネル)の記憶コアに"1"を加算するためにまずそれまでの記 憶内容を記憶レジスタに読出し、"1"カウントをレジスタに加え た後, 再び同じチャンネルの記憶コアに書込むという動作のサイク ルによって完了する。読出し動作はパルス列の読出しパルスにより X, Y駆動電流発生回路に電流が発生してアドレス指定で選ばれた X, Y サブマトリックスのパルストランスを駆動する。 これによ り磁心マトリックスのXとYのアドレス線がそれぞれ1本選ばれ読 出し電流が流されてそのアドレス線の交点にある16枚の各マトリッ クス磁心の記憶内容がそれぞれの読出し線からパルスとして取り出



β+消滅γ線 Na22 7線 (a) 400チャンネルレンジで測定した Na²² γ 線スペクトル

0.51 MeV

1.27MeV



ア線 了線 7線 (b) 200チャンネルレンジで測定した Co⁶⁰ と Cs¹³⁷ γ線スペクトルのオーバラップ比較

Cs137 0.661 MeV

図3 1入力分析による γ線スペクトル

1.17MeV 1.33MeV

される。この読出しパルスはそれぞれの出力増幅回路で増幅整形さ れパルス列発生回路からのストローブパルスによってS/N が改善 された後対応する記憶レジスタのフリップフロップ回路に入れられ る。次にこの記憶レジスタの最小けたのフリップフロップにパルス 列発生回路の新しい計数"1"カウントが加えられる。この記憶レジ スタの内容の書込み動作は読出しの場合と逆の駆動電流を同じX,Y アドレス線に流すことによって行なわれる。このとき、記憶レジス タの各けたのフリップフロップが"0"か"1"かによってインヒビ ット電流発生回路を御制し、"0"のけたに対応する磁気マトリック スにはインヒビット電流を流して磁心の状態変化をさまたげる。以 上の動作で一つの入力パルスがその高さに比例した番地のチャンネ ルに記憶されたが、その動作完了に要する時間をパルスの分解時間 または dead time といい,分析器の性能を示す一つの要素となる。 本装置ではこの dead time では

$$\tau = (12+3+0.25N) \,\mu\text{s} \dots (2)$$

で与えられ, 第1項の12 μs はメモリーサイクル, N は変換される ディジタル量すなわちチャンネル数を示す。高計数率のパルス波高 分析では次のパルスがこので時間内に続いてはいってくる確率が多 くなり,測定に数え落しの誤差を生ずる。この誤差を除くため,分析 時間として真の時間から各パルスのτを差引いたいわゆる Live Time が用いられる。

次に分析結果のブラウン管表示やアナログ量、ディジタル量の読 出し記録の動作は一般の計算機と同様であるが, 本装置では特にデ ィジタル読出しの速度を上げるために独特な2進一10進変換回路を 用いている。 まず表示の動作は読出し書込みのサイクルを 100 μs ごとに1チャンネルずつ送りながら行ない, 25 c/s の周期で400 チ ャンネルを繰返す。読出された記憶内容は記憶レジスタからバッフ アを通してリニアまたは対数 D-A 変換器にはいり, アナログ量に変 換されて、ブラウン管のY軸偏向増幅器によりY軸表示を与える。 一方アドレスアドバンスパルスは別の D-A 変換器を通してX軸増 幅器によりX軸表示を与える。レコーダなど外部へのアナログ量読

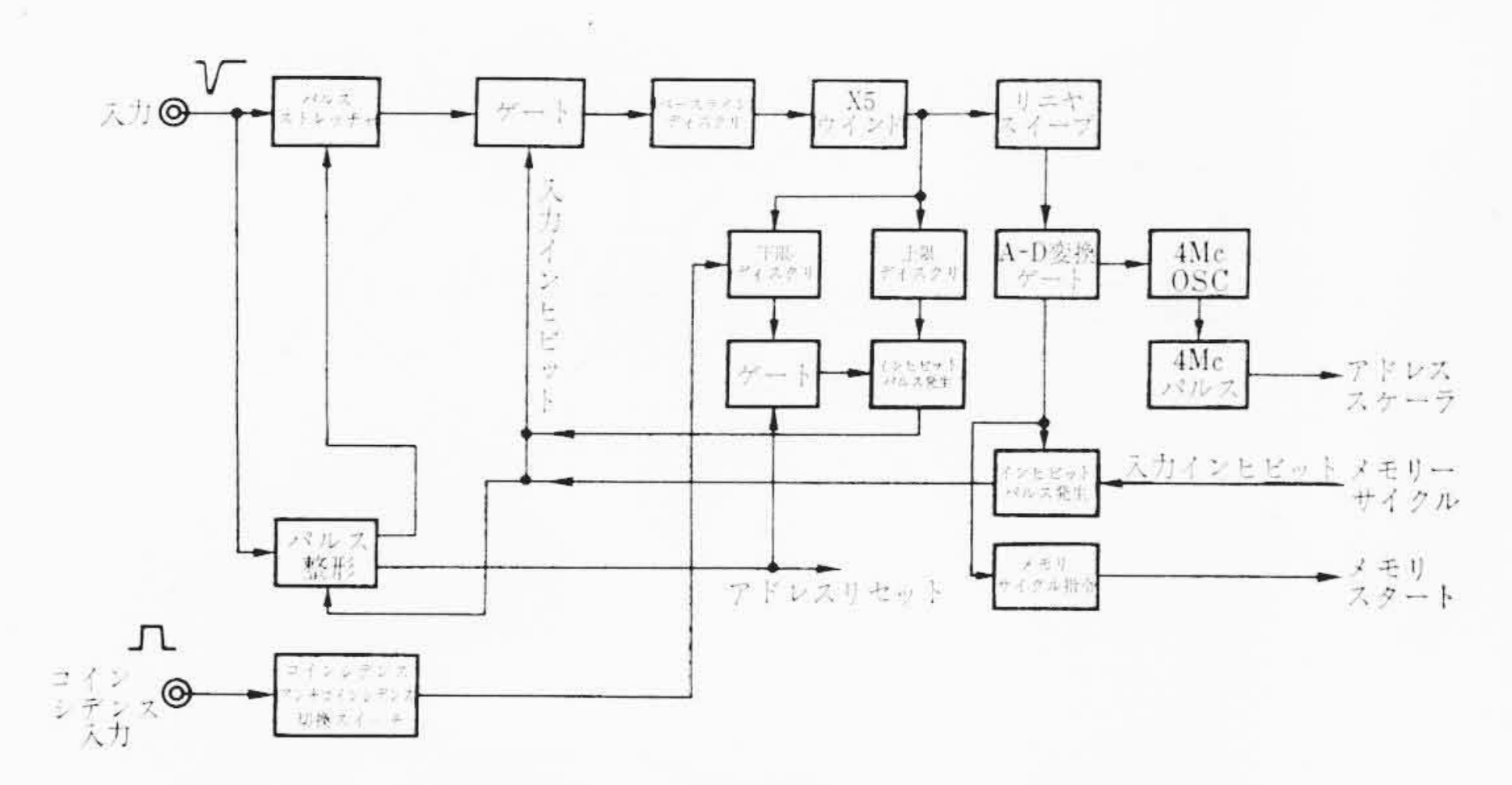


図4 パルス波高値 A-D変換回路ブロックダイヤグラム

出しは前述の表示動作と同様で読出し速度だけを 0.4 s/チャンネル に落としている。次の,ディジタル量の読出し動作はまず記憶内容の 補数を2進16けたの記憶レジスタに読出し、次にこれを10進に変 換する。この場合、 2^{16} 記憶レジスタを 2^8 の二つに分割し、コント ロールユニットの読出し発生回路からの50kc発振パルスを28の 二つの記憶レジスタに入れると同時に10進5けたの読出しのスケ ーラにも入れ、記憶レジスタの計数がオーバフローするまで読出し スケーラで 50 kc パルスを数える。ところで、この読出しスケーラ には1,5,50,200の4個の入力端子があり、この端子が記憶レジ スタの28パルス1個に対し、コントロール回路で発生する4個の 逐次パルスを受けて 256 (= 2^8) が加えられる。この方法は、普通の シリースパルスによる2進一10進変換より約50倍の速度で読出す ことができ、5 ms 以内で 2^{16} の 2 進を 10 進に変換できるという特長 がある。この方式で変換された10進ディジタル出力は直接プリン タを駆動し、プリンタのエンドシグナルを受けてチャンネルが進む。 したがってプリント速度はプリンタの印字速度で決定され、普通使 用されているプリンタでは 0.2 s~0.25s/チャンネルである。

400チャンネル分析装置の全体の動作は概略以上のとおりである。 次におもな機能の回路について説明する。

2.2 パルス波高値の A-D 変換

A-D変換回路は図4のブロックダイヤグラムで示すように入力電 圧または電流パルスをミラー積分方式のリニヤスイープ回路で時間 に変換し、変換時間の間4Mcの発振回路を動作させるのがおもな 役目である。図5のタイムブロックダイヤグラムから、まず、入力 パルス (立上り 0.5 μs 以下) がパルスストレッチャで約 3 μs のパル スに引延ばされ、ベースラインディスクリミネータで選別された後 ウインドアンプ (×1 または×5 倍) で増幅され、リニヤスイープ回 路にはいる。ここでチャンネルのレンジできまった傾斜でそのパル スの高さに比例した時間,直線的に電圧が OV に近づく。一方 A-D 変換ゲート回路によりリニヤスイープが動作している間ゲート電圧 が4Mcの発振回路の入力にかかり発振をトリガする。この発振パ ルスは整形されてコントロールのアドレススケーラに送られる。他 方,この発振トリガの前にアドレスリセットパルスが発生してアド レスを0にリセットする。A-D変換ゲートが閉じると4Mcの発振 が止まり、同時に記憶指令パルスがコントロールに送られる。入力 パルスは A-D変換とメモリサイクルの間 ゲートが閉ざされるため にはいらない。また、下限および上限ディスクリミネータにより制限 された高さのパルスは同様ゲートによりインヒビットされる。図6 はそれぞれ Hg パルスと実際のランダムなシンチレーションパルス による A-D 変換の様子を示したものである。また、図 14 は Hg パ ルスによる A-D 変換の直線性の測定結果で400 チャンネルで8チ ヤンネルまで ±0.5% (フルスケール) 以内にはいっている。

2.3 記憶コアマトリックス

本装置の記憶装置は20×20のフェライトコアマトリックスを4個

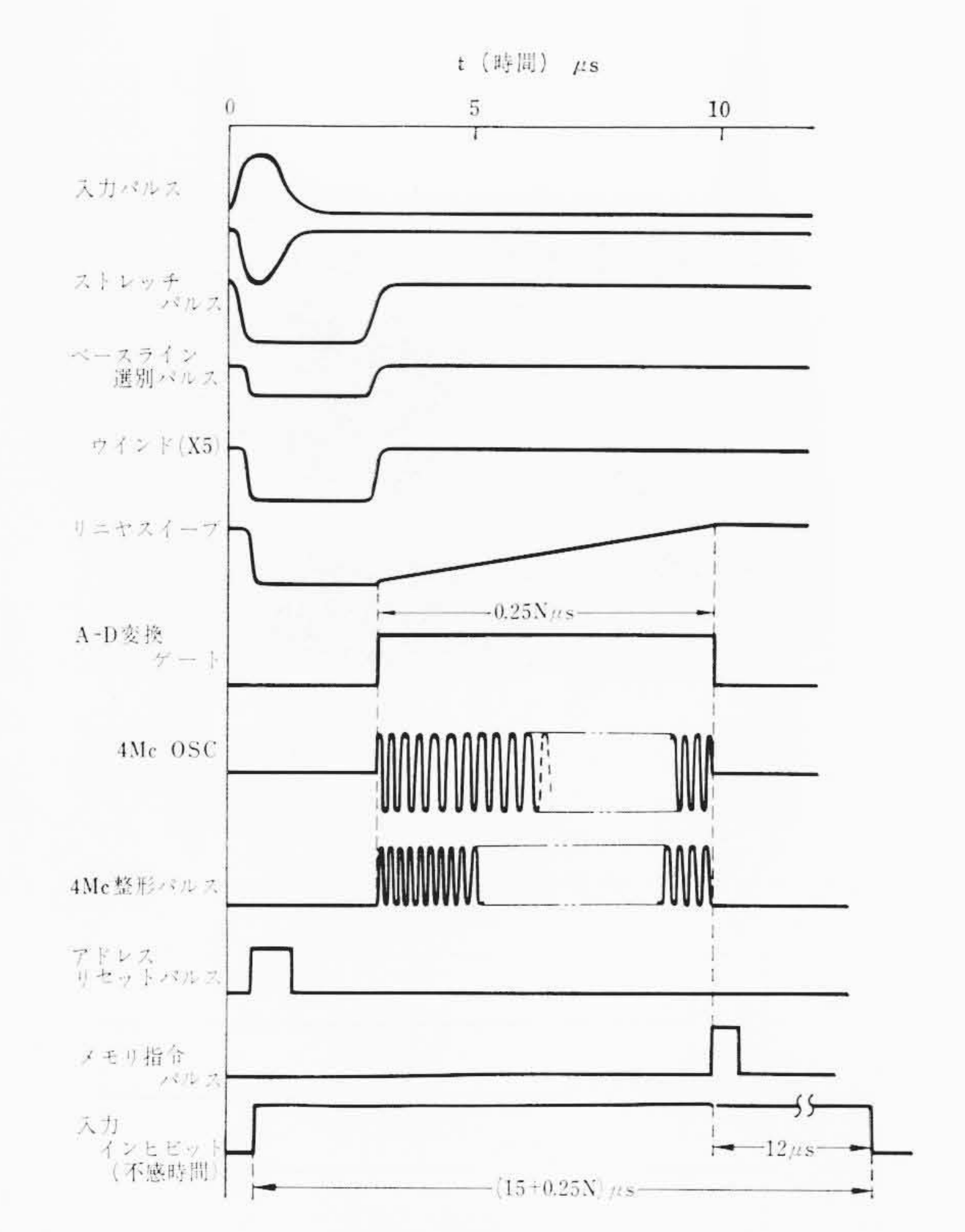
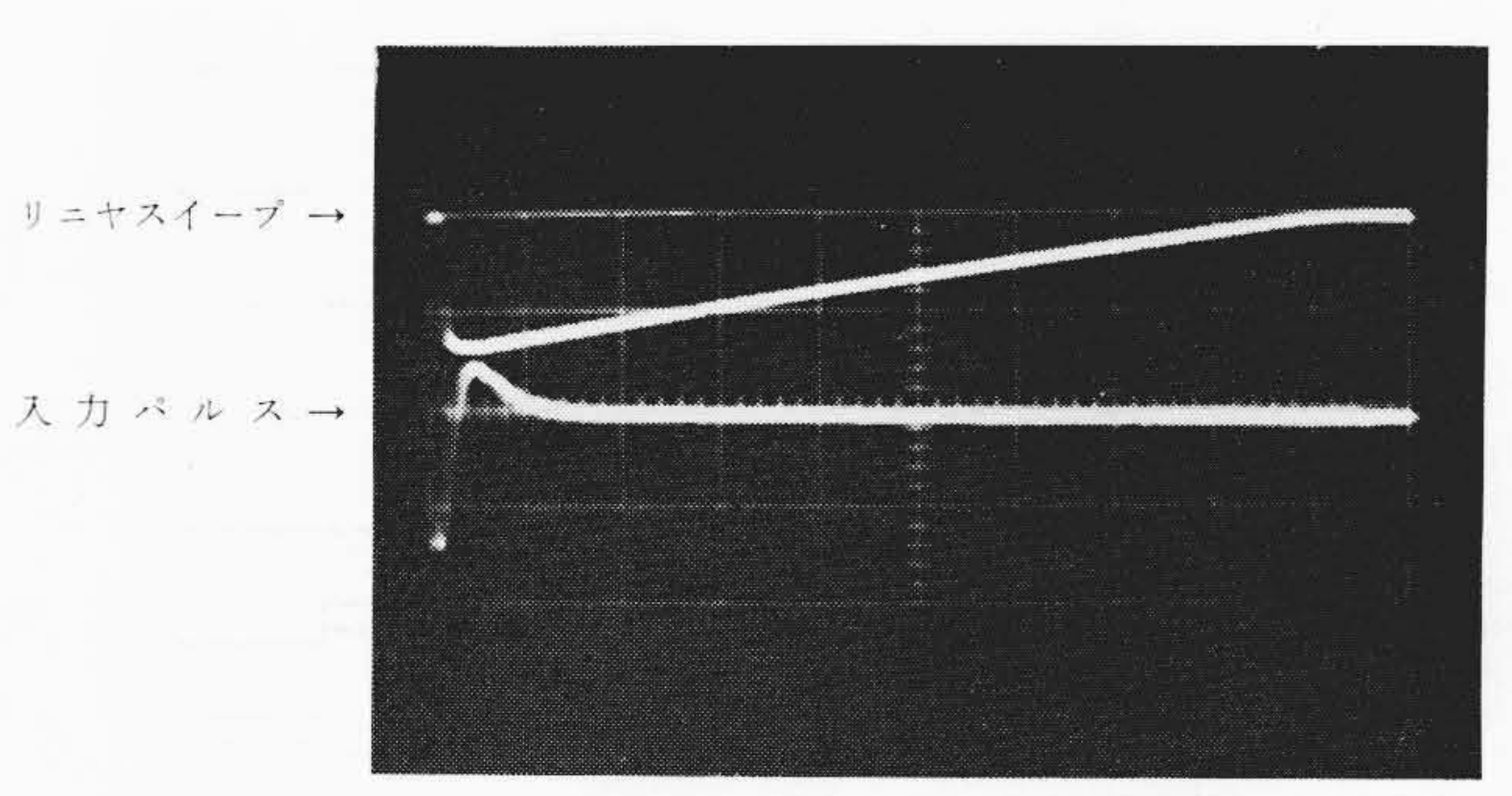
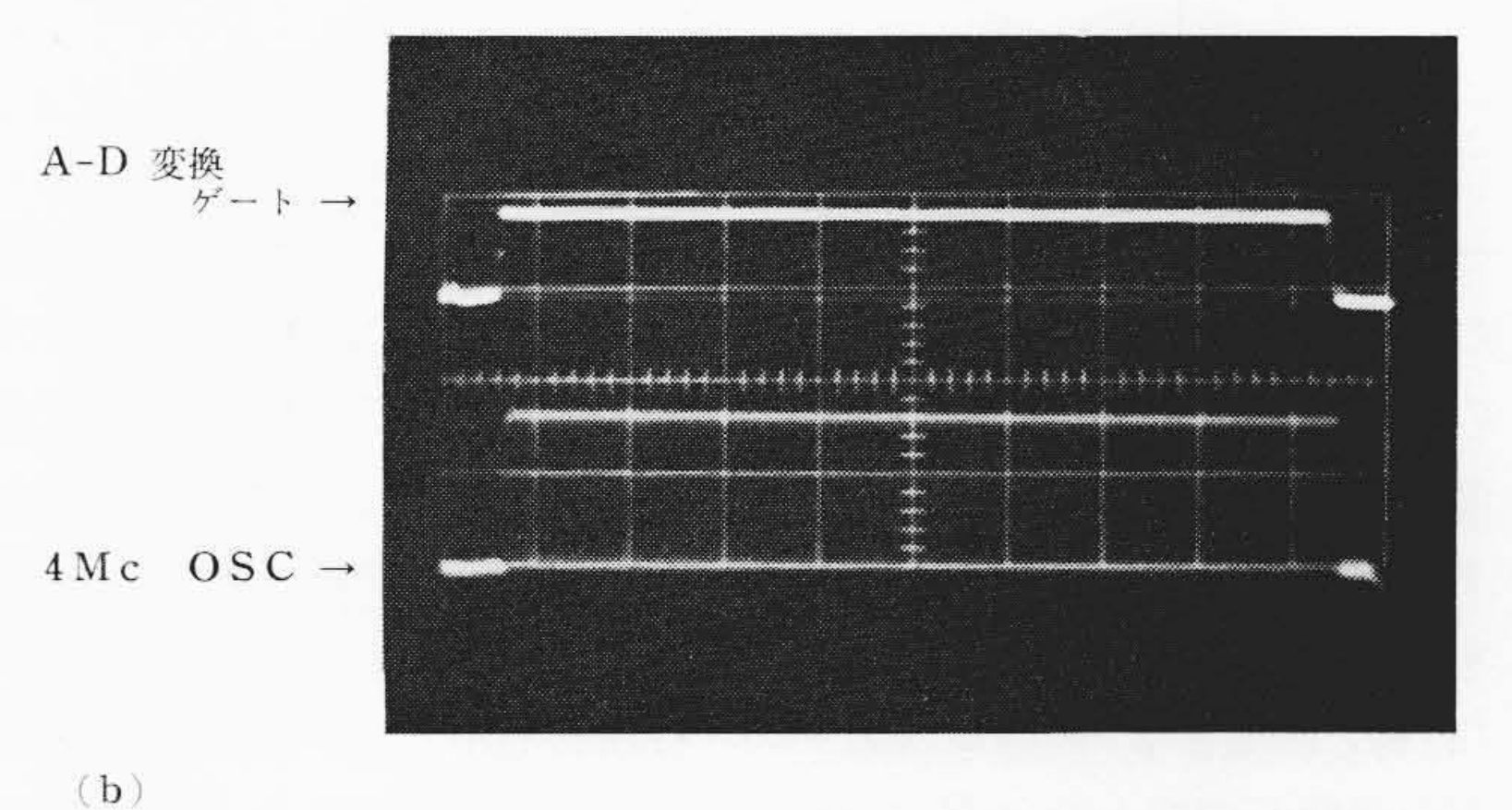
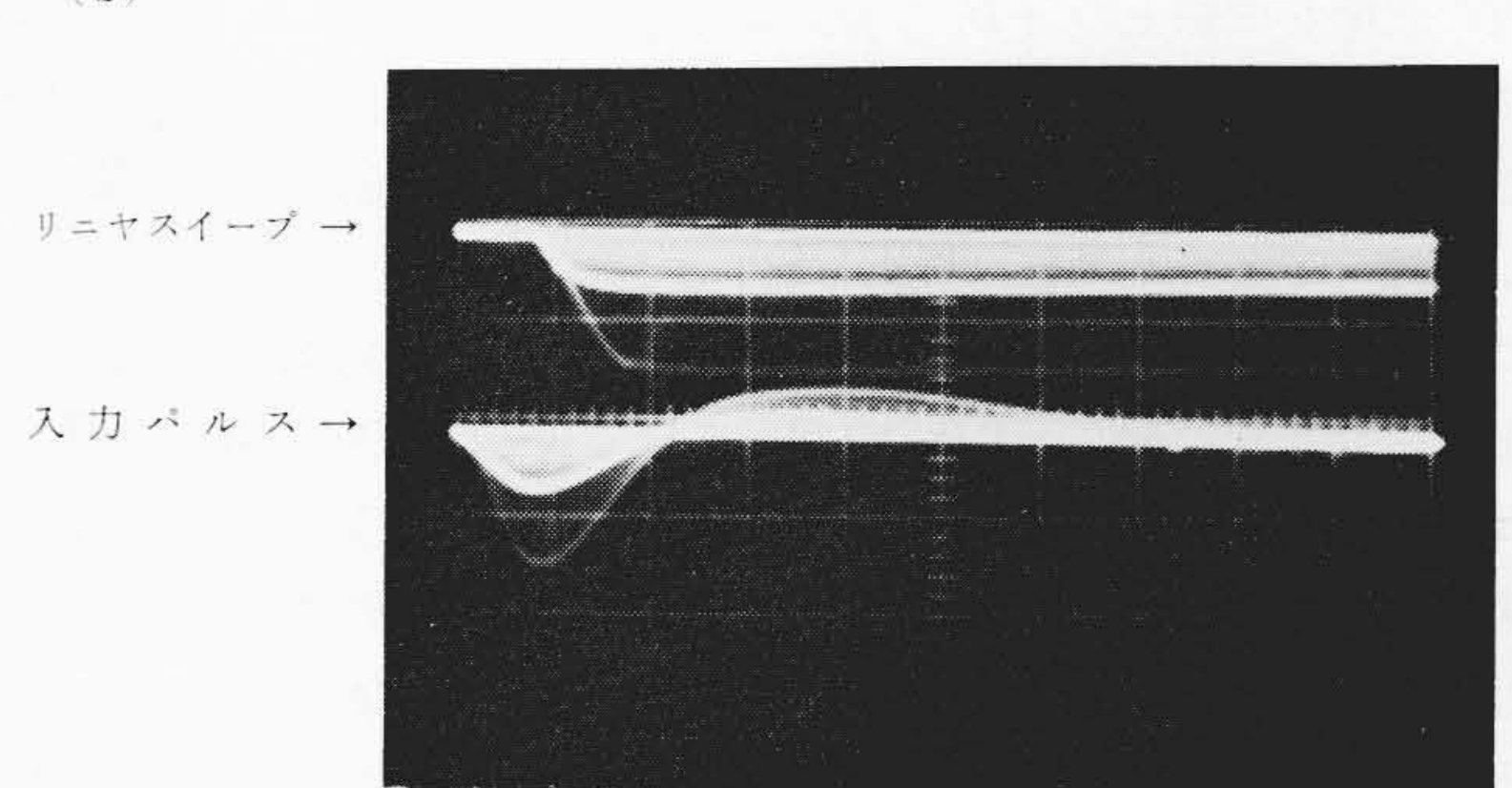


図5 パルス波高値 A-D変換タイムブロックダイヤグラム



(a) Hgパルスによる A-D 変換パルス波形





(c) Na²² γ線のシンチレーション 検出器出力パルスとリニヤスイープの波形

図6 実際のA-D変換波形

日

昭和42年4月

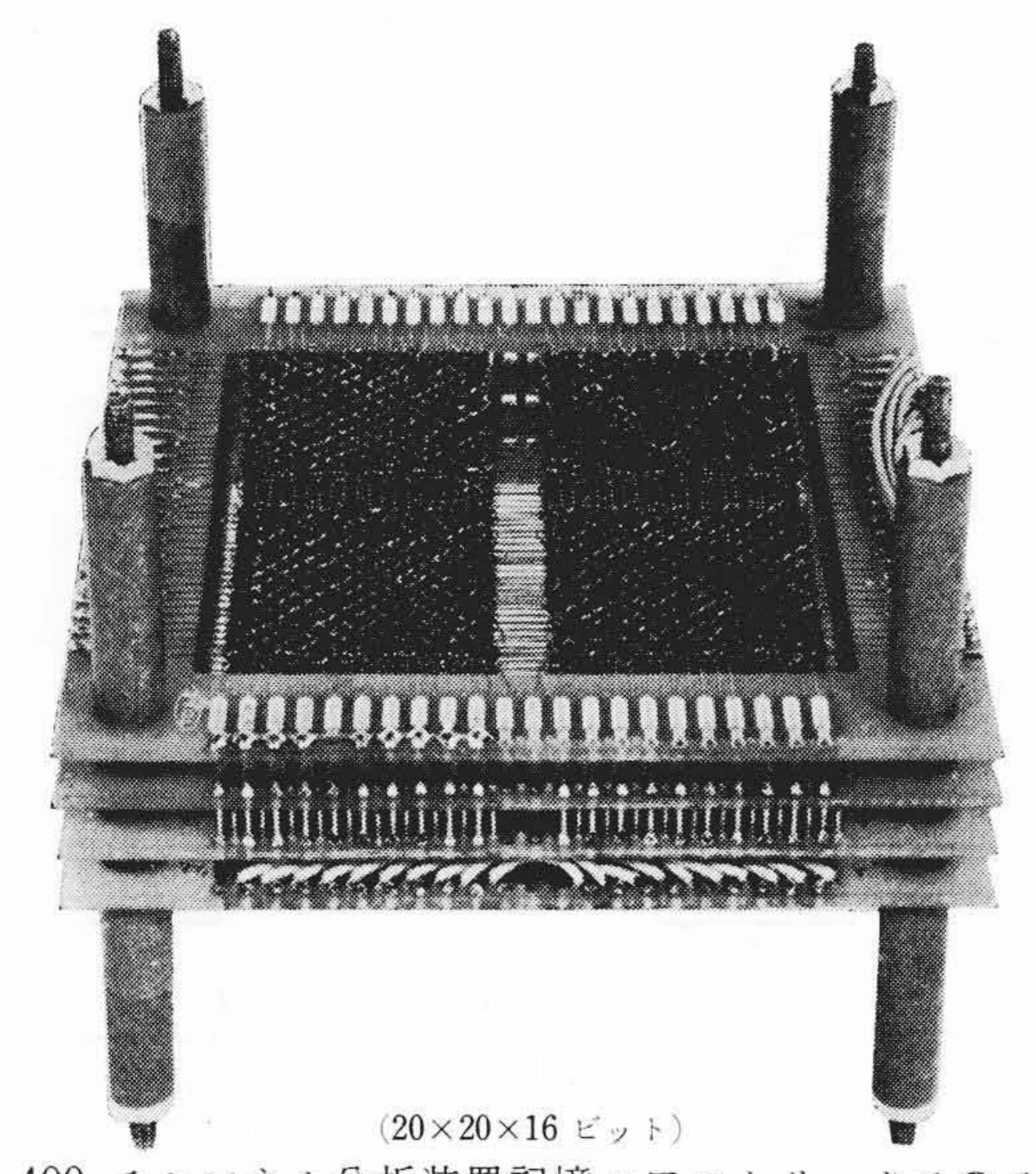


図7 400 チャンネル分析装置記憶コアマトリックスのスタック

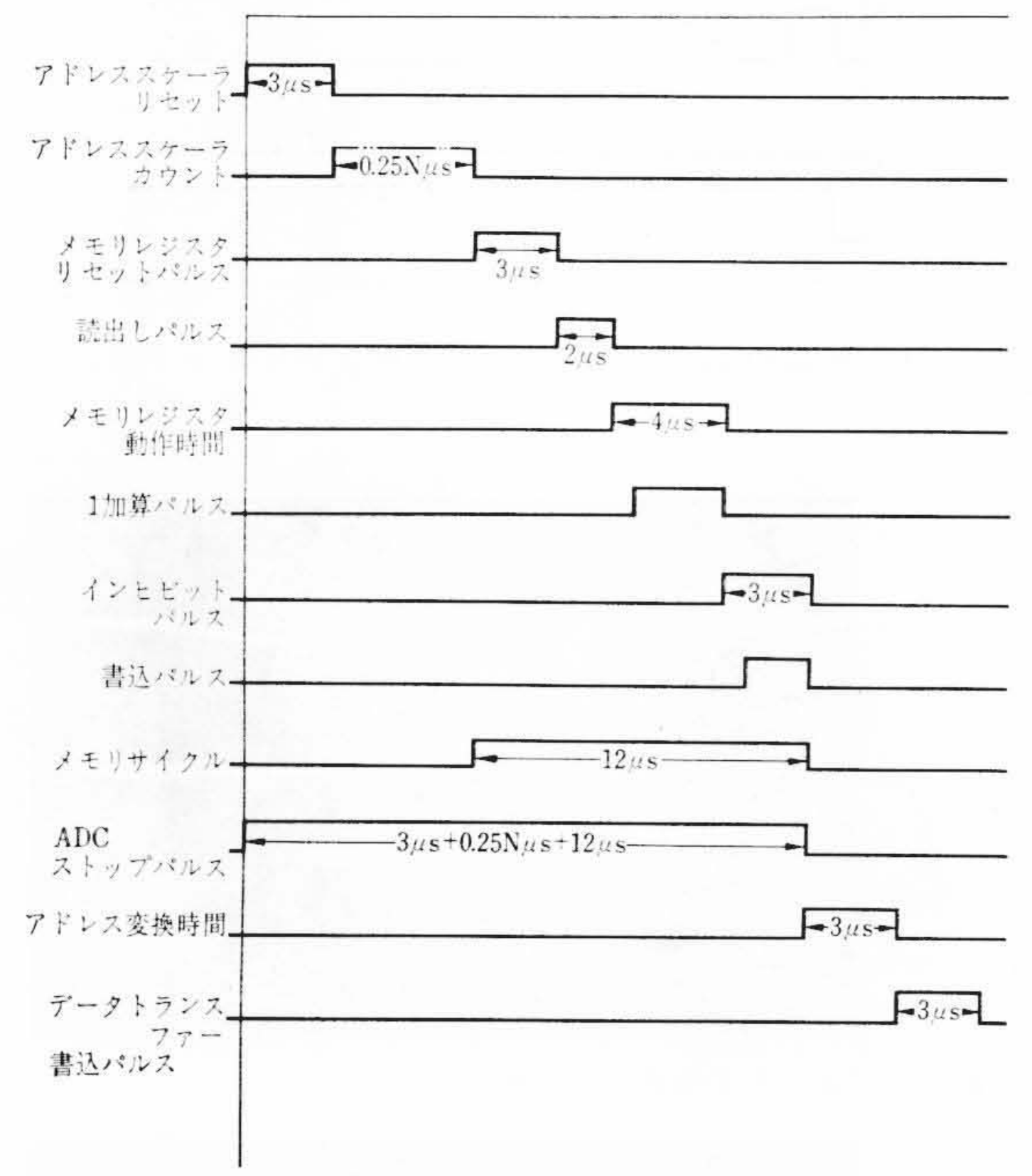
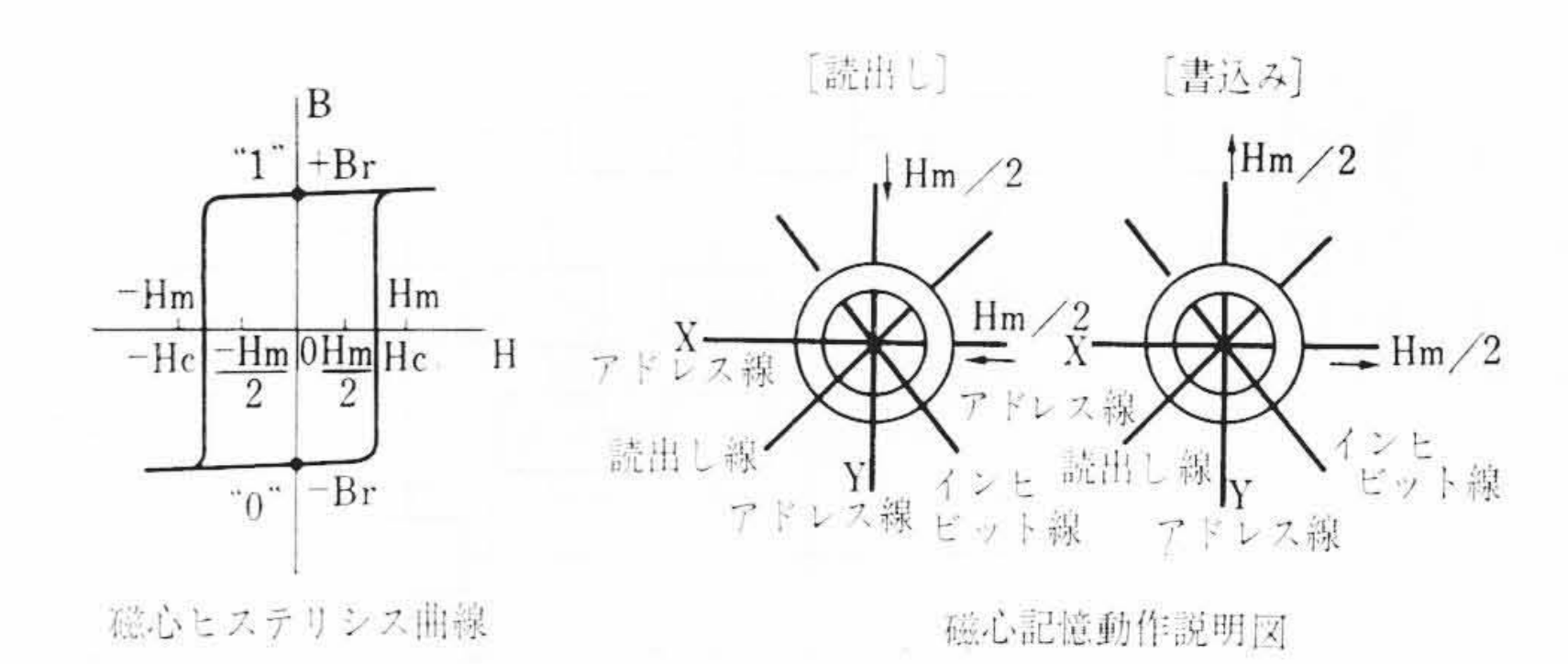
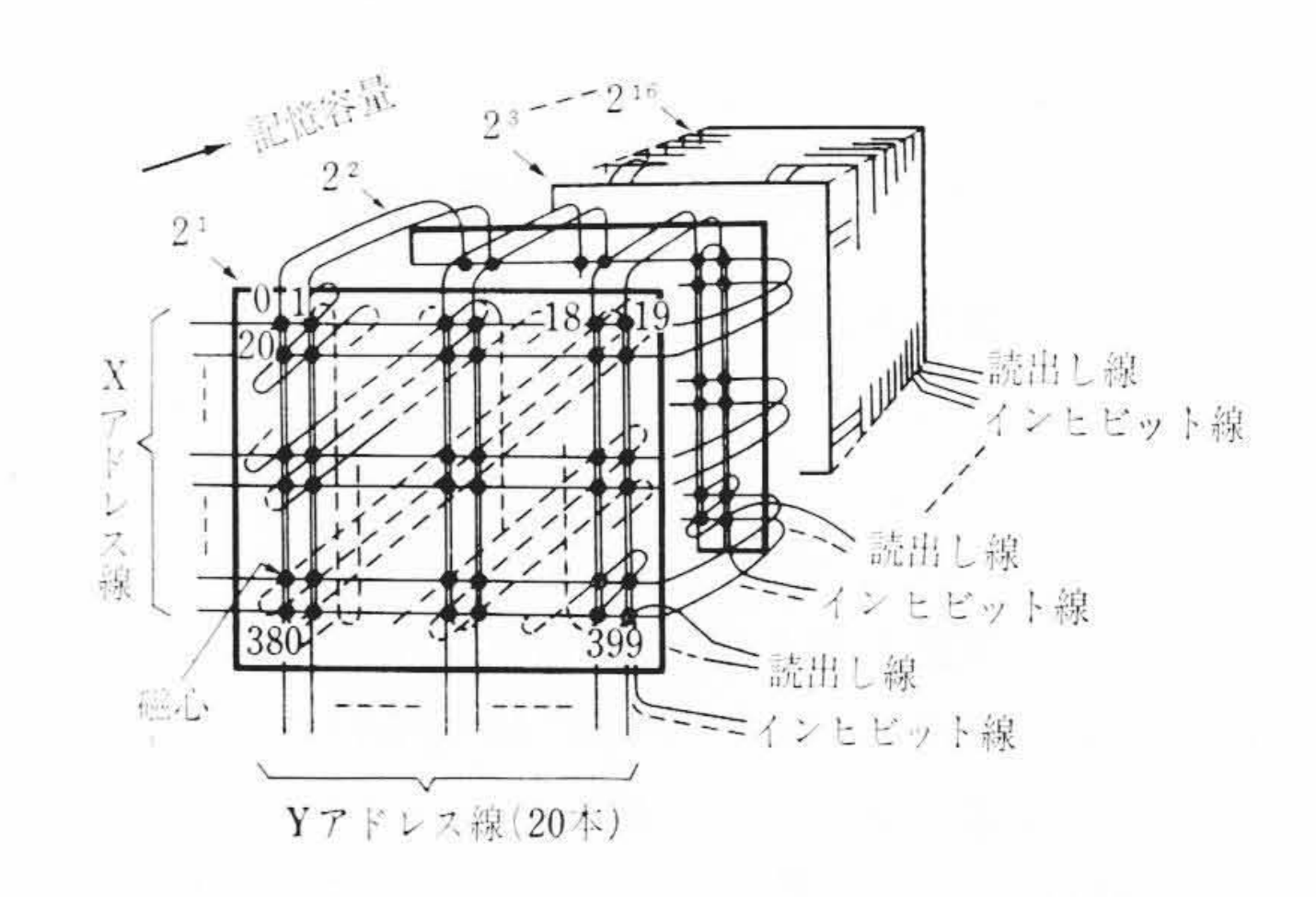


図 9 記憶動作パルス列ブロックダイヤグラム

一つのフレーム内に編み込んだものを四つ組み合わせた合計16個 のマトリックスからなるメモリスタックを中心に X, Y 2個の 5×4 のサブマトリックスを構成するパルストランス電流駆動回路や前述 の種々の周辺回路からなっている。図7はフェライトコアマトリッ クスのスタック,図8はその説明図である。ここで記憶動作の原理 を簡単に述べる。磁心による記憶の原理は図8のような磁心の H-B (磁場と磁束密度)角形ヒステリシス特性を利用して,磁心の残留磁 束の状態が曲線上の $+B_r$ の点にあるか、 $-B_r$ の点にあるかによっ て2進情報の"1"と"0"を対応させ1ビットの情報を記憶させる ことにある。そこで、マトリックスを構成する磁心は互いにXアド レス線, Yアドレス線, 読出し線およびインヒビット線の4本の線 によって編まれている。いま,磁心から記憶内容を読出す場合,X, $Y ア ドレス線に磁心が"0"の状態になるような方向に<math>H_m/2(H_m)$ $H_c > H_m/2$) に対応する電流を流すと"1"の状態にあった磁心は磁 束変化を生じ, 読出し線に電圧を誘起してパルスを発生する。しか し、"0"の状態にあった磁心はそのままで変化しないのでパルスを 出さない。逆に"0"の状態にある磁心に"1"を書込むときは読出 しの場合と逆方向に $H_m/2$ の大きさの電流をX, Y アドレス線に流 せばよい。 また、"0"を書込むときは、"1"の場合と同様に $H_m/$





20×20×16 磁心記憶マトリックス 磁心記憶マトリックス説明図

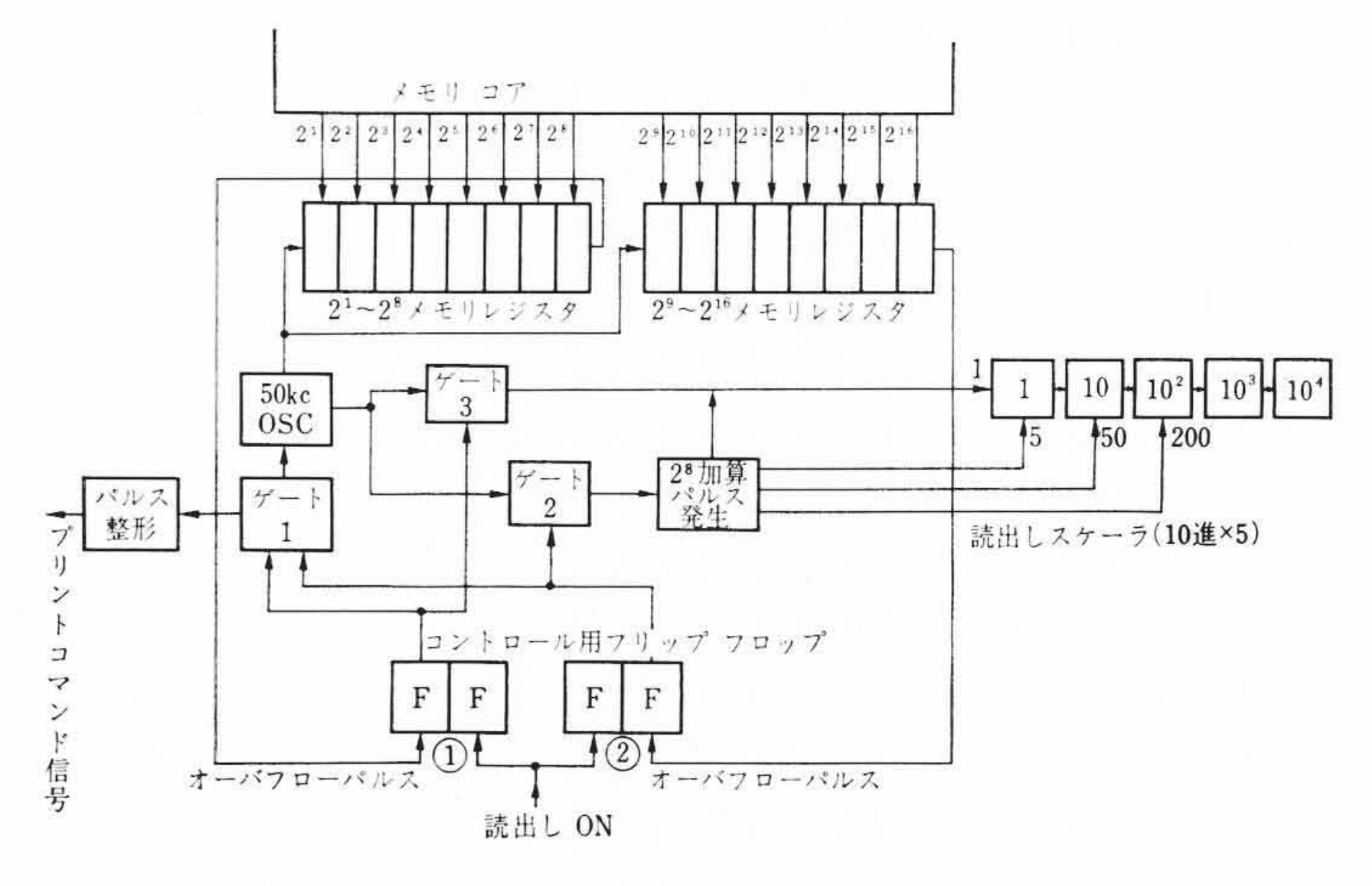


図 10 ディジタル読出し回路ブロックダイヤグラム

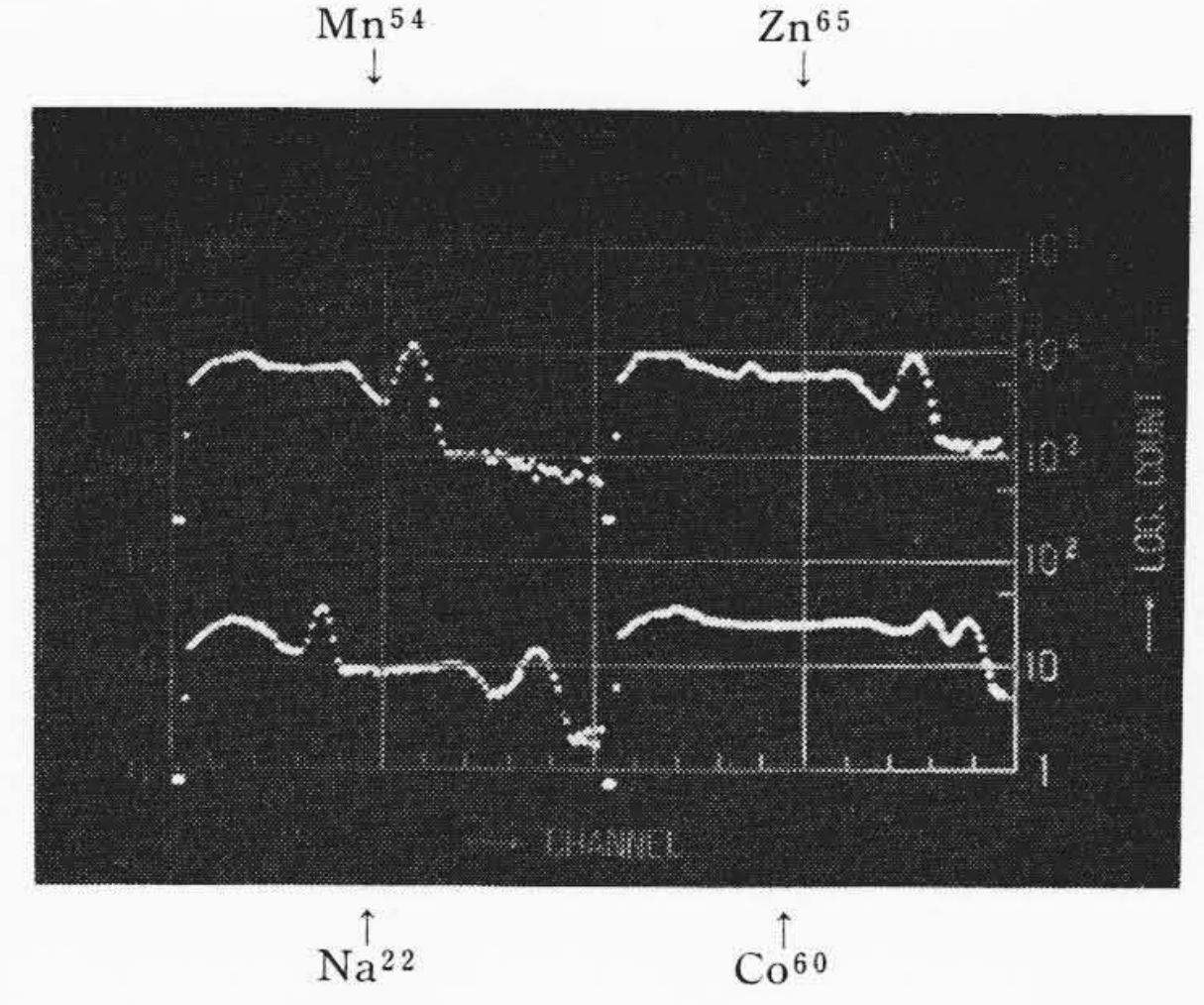
2の電流を流し、同時にインヒビット線に電流を流すことにより磁 心が"1"の状態に変化しないようにしている。 以上は記憶の基本 的動作で,本装置では,また,計数の引算動作や,ディジタル読出 し動作で記憶量の補数の読出し書込みを行なう場合、加算動作と逆 方向の電流を流すことによってその動作を行なっている。

2.4 ディジタル読出し

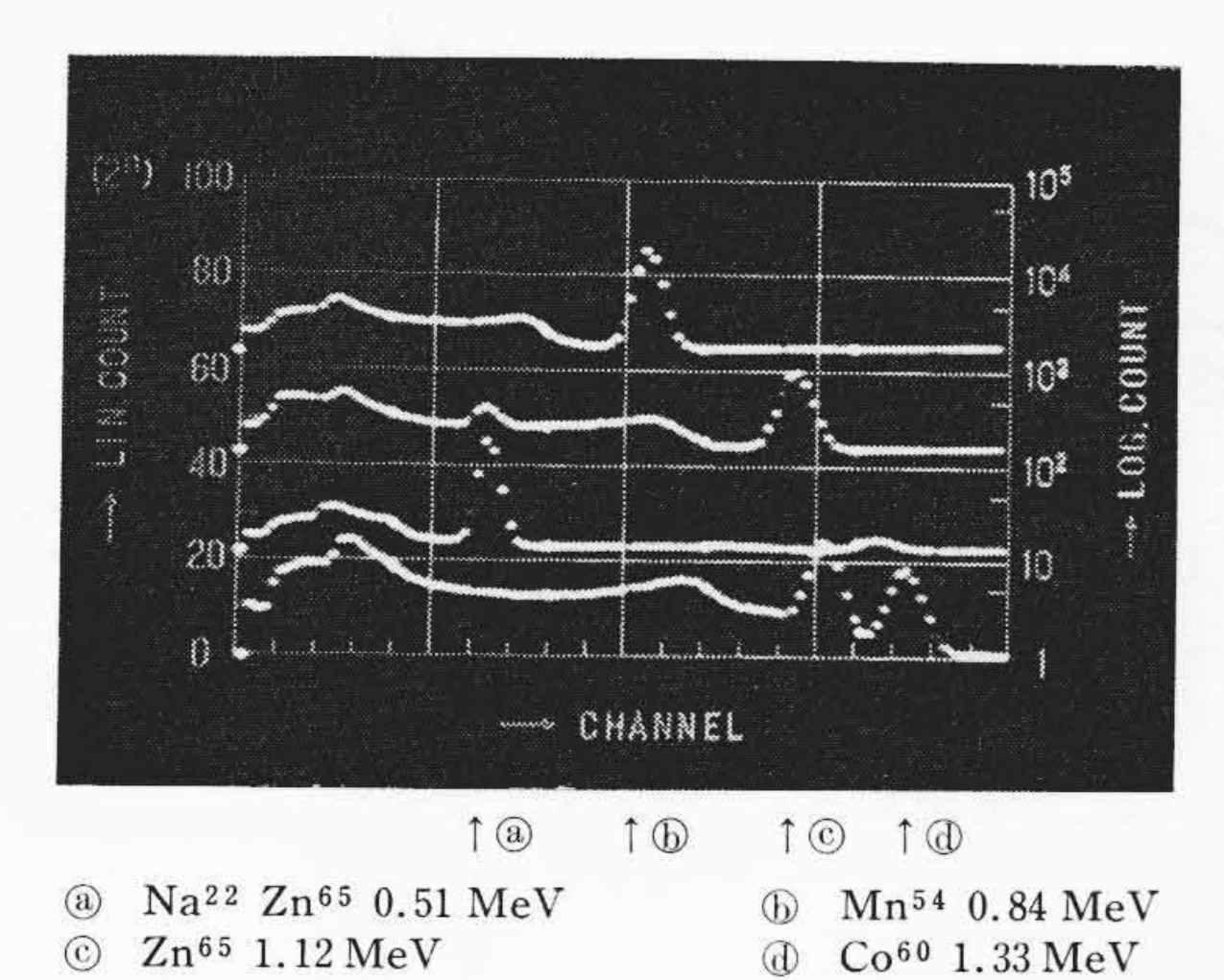
本装置では特にこのディジタル読出しの方式が従来のものよりも 非常に速い点で大きな特長となっている。図10のブロックダイヤ グラムに示すように, 読出しスケーラは計数測定中は時間表示のた めのタイマーとして兼用されるが、その回路構成は1・1・2・5の2進 化10進フリップフロップ 2組と1・2・2・4の2進化10進フリップフ ロップ3組の5けたからなり、最初の3けたまでに、1,5,50,200 の4個の入力端子がついている。ディジタル読出し指令でまず読出 しスケーラに記憶されていた時間がプリンタに打出され,次にプリ ンタのエンドシグナルを受けて記憶内容の読出しが開始される。こ の場合の各記憶レジスタには記憶内容の補数が読出され、216個の 記憶レジスタは初めの 2^8 と後の $(2^9 \sim 2^{16}$ までの $)2^8$ の二つに分割さ れる。読出し指令パルスが2個のコントロールフリップフロップ① と②にはいると記憶レジスタの2進計数が読出しスケーラに10進計



図11 4入力パルス波高分析器



(a) Mn⁵⁴, Zn⁶⁵, Na²², Co⁶⁰ の各スペクトルのセパレーション表示



(b) 上記4 γ線スペクトルの 200 チャンネルレンジでみた 対数スケールセパレーション表示

図13 4入力分析器による四つのγ線スペクトルの並行分析例

数として変換される。この動作はゲート1、2、3、が開くことにより50kcの発振器がトリガされ、その発振パルスは二つの2°記憶レジスタにはいる。また一方、同時に一つはゲート3を通って直接に読出しスケーラにはいり、もう一方はゲート2を通って2°加算パルス発生器にはいる。 前者は初めの2°記憶レジスタがオーバフローしてゲート3を閉じるまで、すなわち、2°の2進記憶レジスタで計られたパルス数と同じ数のパルスを読出し10進スケーラに送る。また、後者は後の2°記憶レジスタがオーバフローしてゲート2が閉じるまで、2°加算パルス発生器にはいってくるパルス1個に対し1、5、50、200の4個のパルスを逐次読出しスケーラのそれぞれ4個の入力端子に送る。このようにして、10進読出しスケーラには二つの2°記憶レジスタの補数の補数すなわち真数がちょうど、216をシリースに読出したと同様にその場合の約50倍の高速度で読出し変換されるのである。

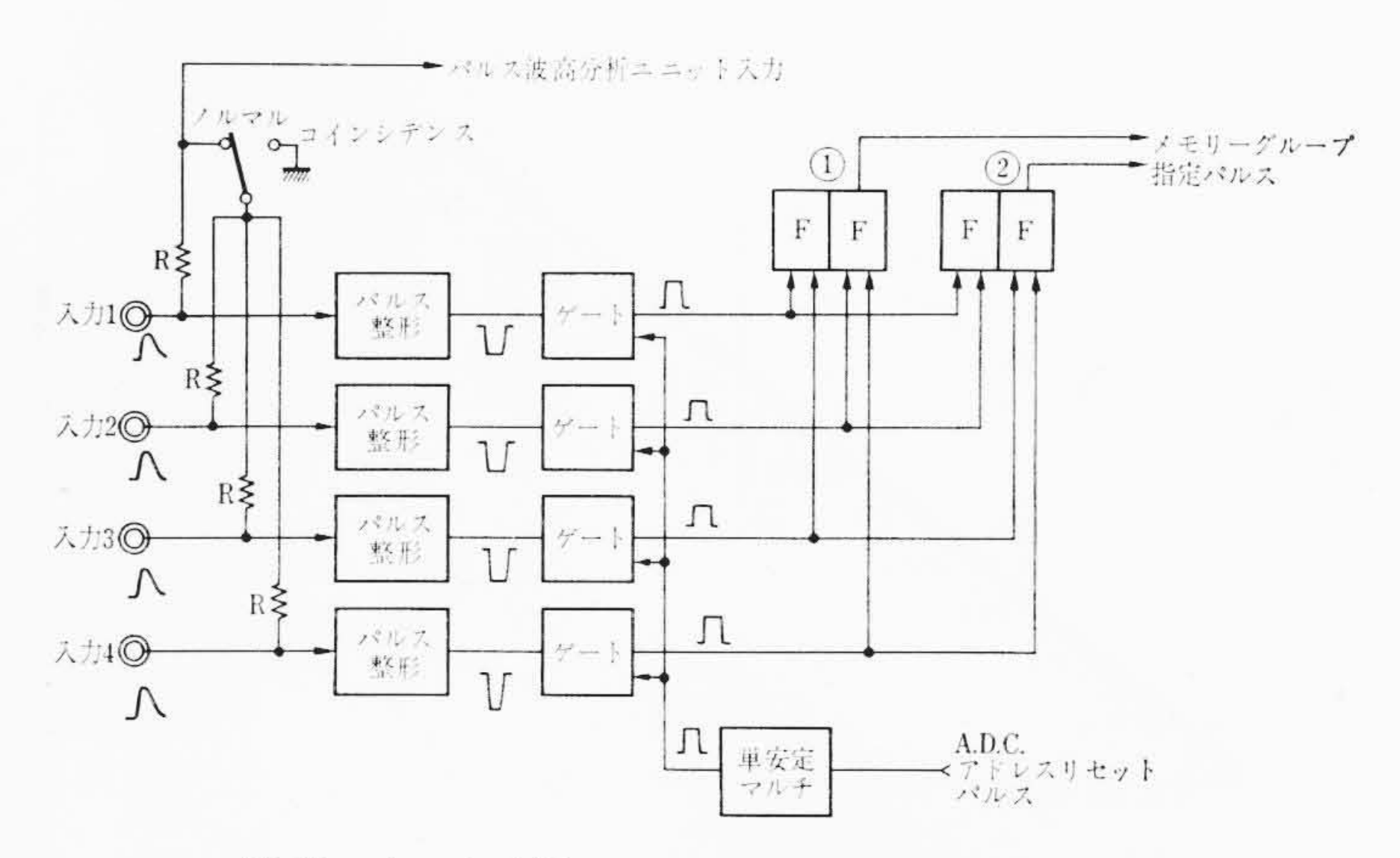


図12 4入力分析ユニットブロックダイヤグラム

3. 4 入 力 分 析

400 チャンネル分析装置の 1 入力増幅器の代わりに 4 入力ユニットを使用して 4 個までの独立したスペクトルを分析する場合の動作原理について述べる。図 12 は回路構成を表わしたものである。四つの入力パルスは同じ大きさの抵抗 R を通して結ばれた後、パルス波高分析器の入力パルスとして送られる。一方、それぞれの入力パルスは別にパルス整形され、ゲート回路を通して二つのフリップ・フロップを動作させ、入力番号に対応した記憶 グループを選ぶ。分析開始されるとただちに A-D 変換器よりアドレスリセットがモノステーブルマルチバイブレータを動作させて四つのゲート回路を閉じ、一つのパルスの分析記憶動作中次のパルスがはいるのを防いでいる。このようにしてランダムにはいる四つの入力パルスのスペクトルは別々の 100 チャンネル記憶 グループに分析される。図 13 は Mn^{54} 、 Z^{65} 、 Na^{22} , Co^{60} の四つのスペクトルを並行に分析した分析例である。

次にコインシデンス分析の動作は入力1に対し、2,3,4のそれぞれの入力が一致したとき、入力1のパルスのうちその一致したパルスだけが $2\sim4$ のいずれかのコインシデンスチャンネルに記憶される。このとき2,3,4の入力はコインシデンスゲートパルスとして働き、常時は記憶グループ指示のフリップ・フロップは入力1のチャンネルのみを指定しているが一致したときはそのコインシデンスチャンネルを選び、入力1のパルスをその記憶グループに入れるのである。

4. 性能と試験結果

パルス波高分析器として重要な性能は,(1) パルス波高値対チャンネル数の直線性,(2) 長時間のチャンネル安定性,(3) 高計数率に対する安定性,(4) 温度変化に対するチャンネル安定性,(5) 有効チャンネルの広さ,(6) そのほか外部雑音,震動など種々の影響下での確実性などできびしい要求が多い。

チャンネル対パルス波高値の直線性は比例増幅器とA-D変換器の性能によって支配され、特に(5)の有効チャンネルの要求も含めると低チャンネル領域ではリニヤスイープの低レベルでの曲りなどが問題となる。本装置では直線性 10^{-3} 以下の Hg パルスによって測定の結果,400 チャンネルレンジで有効チャンネルレベル 10 チャンネル以下で直線性はフルスケールの $\pm 0.5\%$ の性能が保証された。図 14 に測定例を示す。長時間のドリフトは図 15 の結果のように一定の温度範囲の下では非常に安定で,初期ドリフトは平均 30 分まで $1\sim2$ チャンネル、その後は 1 日に 1 チャンネル以下である。また,温度変化については特に A-D変換器をサーミスタやダイオードにより補償した結果,大きく改善されたが,総合的にみて種々の部品の小

日

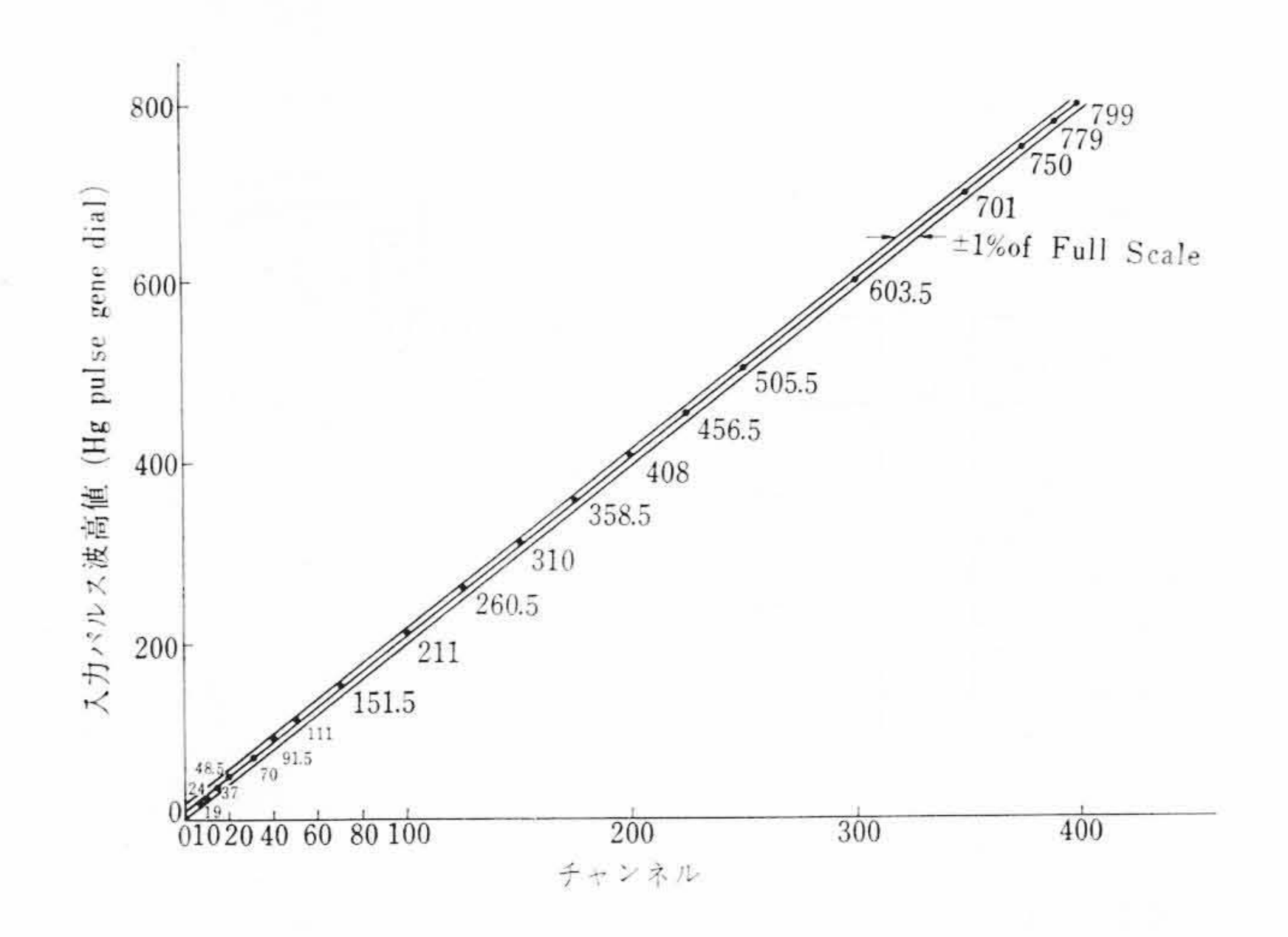


図 14 400 チャンネル分析器のパルス波高値-チャンネル直線性

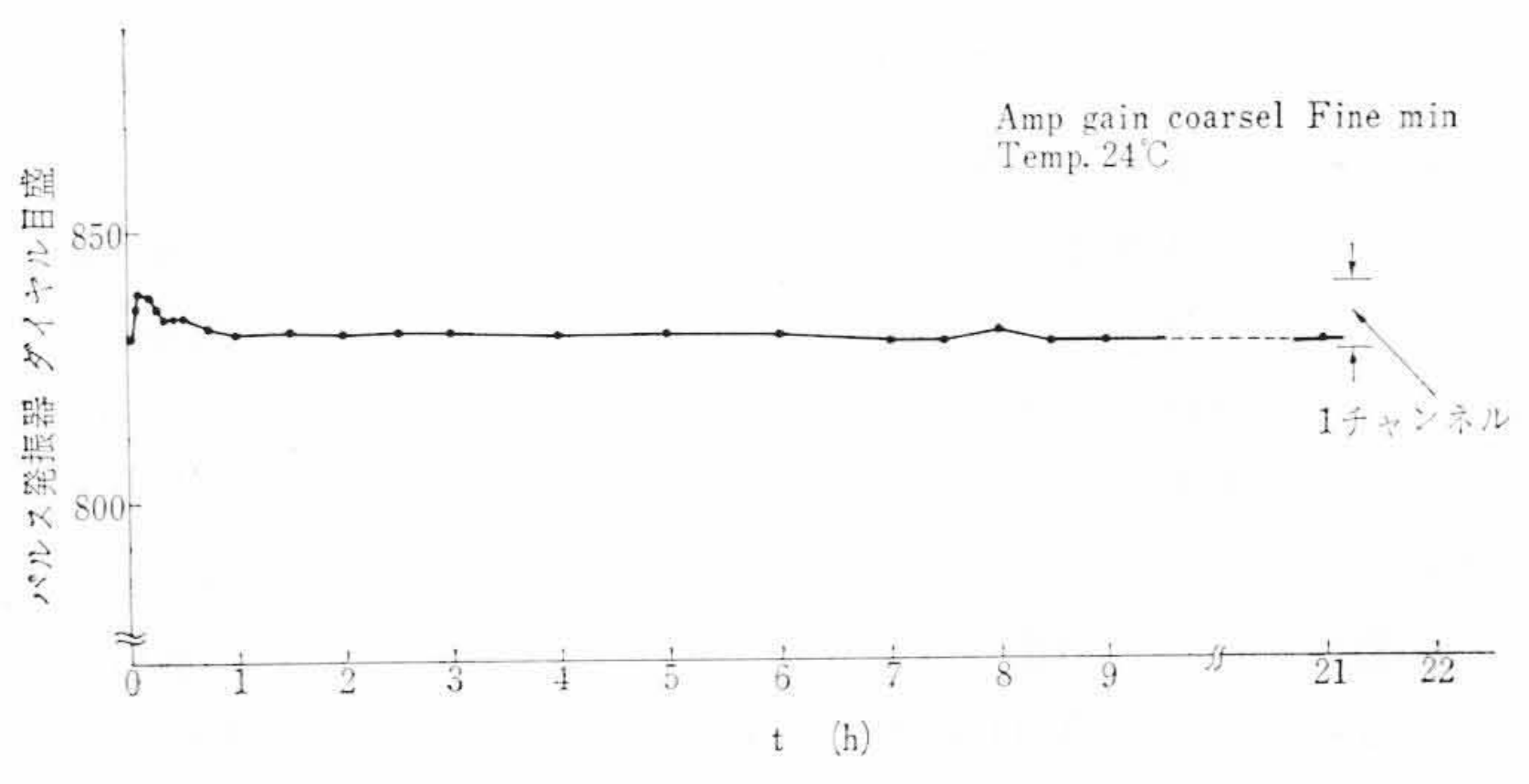


図 15 400 チャンネル分析器のドリフト

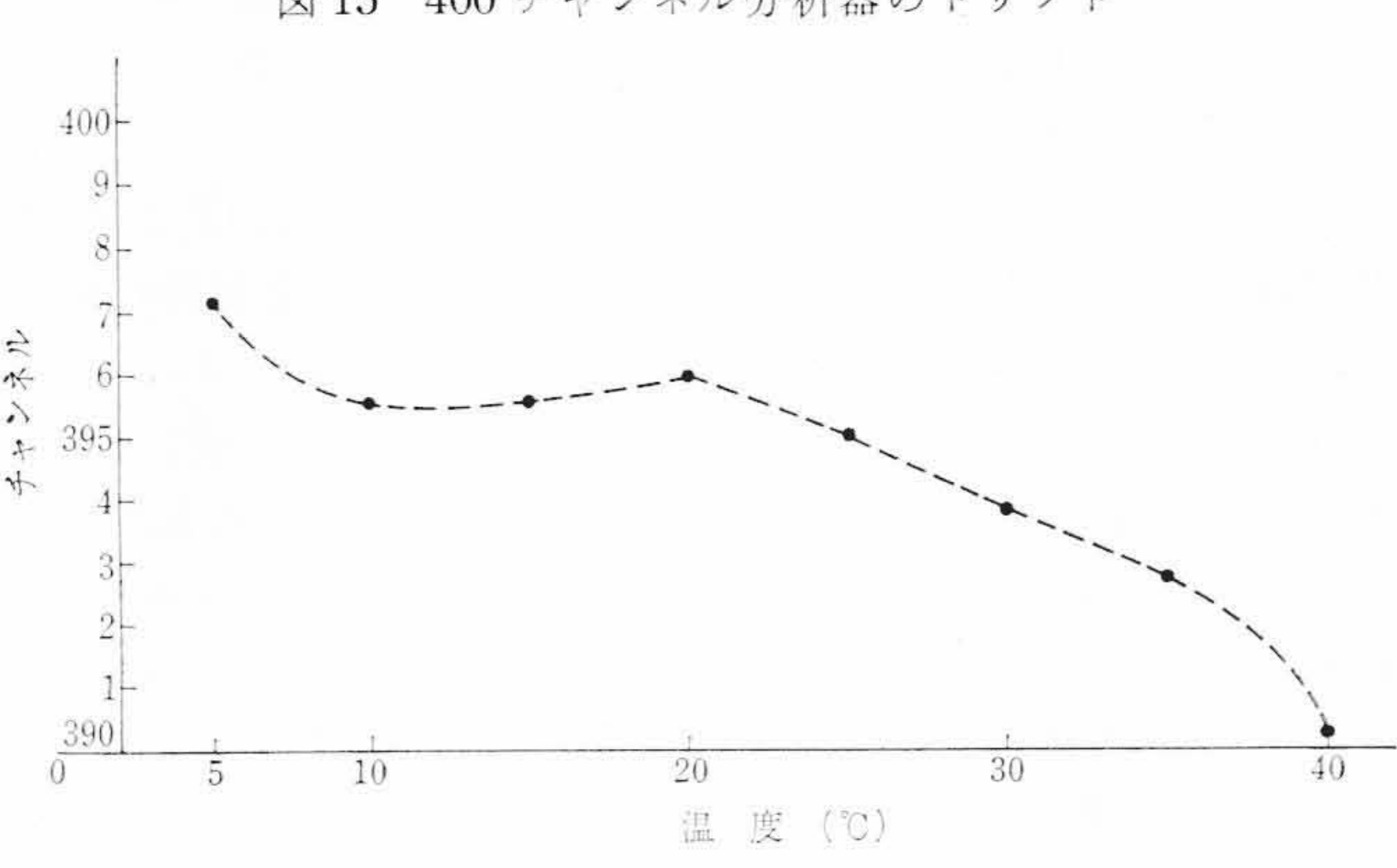


図 16 温度変化に対するチャンネルシフト

さな温度変化が累積されるため、これ以上の安定性を得ることはなかなか困難である。図 16 で示したように 10° C~ 25° C 付近までは 1 チャンネル以下のシフトにはいっているが、 30° C以上では、 10° C 当たり 2 チャンネル以上、 40° C 以上では記憶装置の動作が不安定となる。次に高計数率に対する問題は γ 線の分析などの場合重要である。図 17 および図 18 は同じ測定条件のもとで 1,000 cps の計数率の変化に対して 1 Hg パルスによる本装置自体のシフトと検出器自体によるシフトを比較したものである。この結果、1 Hg パルスのシフトは 1 チャンネル 以上 みられた。これは光電子増幅管の感度変化の影響 1 と思われ、特に 1,000 cps から 1 5,000 cps への低計数率範囲の変化に対し大きなシフトが現われている。そのほか、電気的雑音影響はほとんど問題なく外部装置との連動操作などで安定な動作が保証される。

5. 結 言

本報告では RAH-403 形 400 チャンネルのパルス 波高分析器 とし

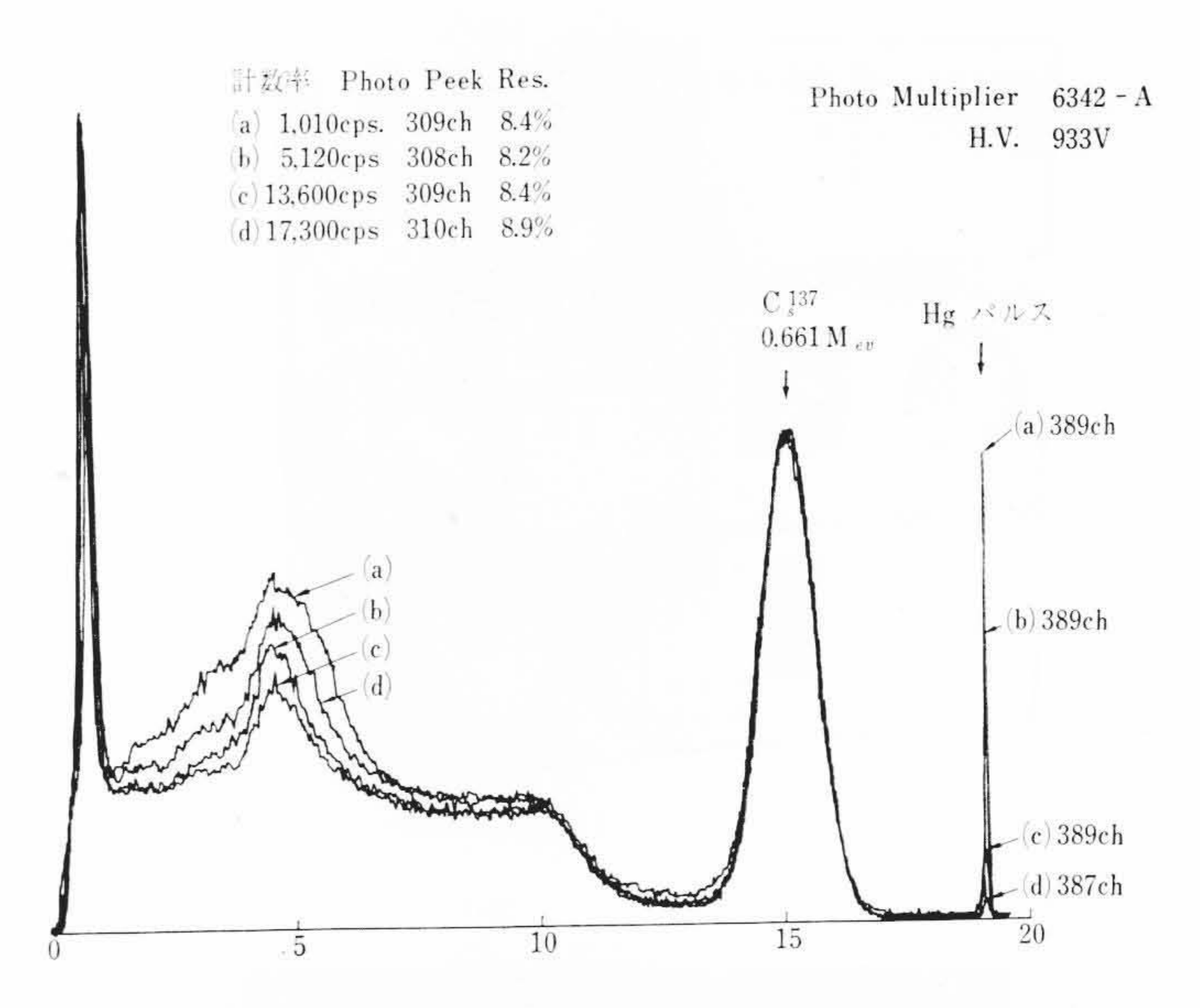


図17 計数率の変化に対するスペクトルシフトと チャンネルシフトの測定例(1)

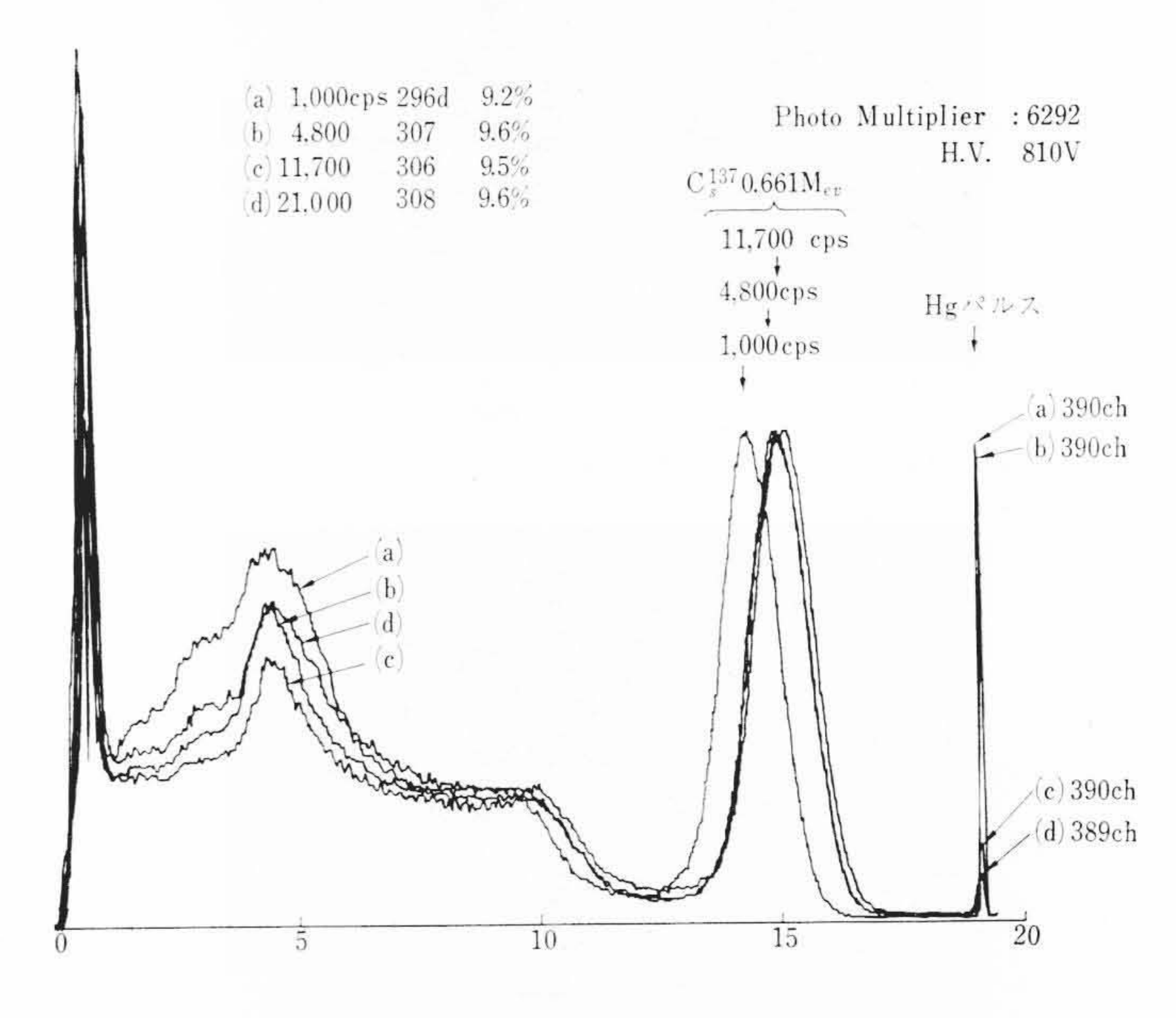


図18 計数率の変化に対するスペクトルシフトと チャンネルシフトの測定例(2)

ての回路構成とその性能の概要について述べた。本装置は多用途の機能をもっているが特にシンチレーション検出器による放射線スペクトル分析に最も適した機能と十分な性能をもっている。しかし、近い将来、半導体検出器による γ 線X線の高分解能スペクトル分析や、 $m\mu$ sの速い時間分析が盛んに行なわれるようになると、もっと大きなチャンネル数と、速いA-D変換、メモリサイクルの分析、記憶回路が要求され、直線性、安定性などの性能を一段と改善する必要がある。

なお,本装置の高計数率に対する種々の実験で立命館大学学生, 浜辺豊文氏のご協力を得たことを感謝する。

参 考 文 献

- (1) D. H. Wilkinson: Proc. Cambridge Phil. Soc. **46**, 508 (1950)
- (2) G. W. Hutchison and G. G. Scarrott: Phil. Mag. **42**, 792 (1951)
- (3) P. W. Byington and C. W. Johnstone: Institute of Radio Engineers Convention Record 3, 204 (1955)
- (4) R. W. Schumann and J. P. McMahon: Rev. Sci. Inst. 27, 675 (1956)
- (5) 松下甫,西脇耕治,菅沢荘一: 日立評論 45, 1836 (昭 38-11)